DOI: 10.13870/j.cnki.stbcxb.2025.04.002

CSTR: 32310.14.stbcxb.2025.04.002

鲁文德,李广,刘帅楠,等.高氮和生物炭添加对黄土高原撂荒草地土壤氮组分的影响[J].水土保持学报,2025,39(4):39-47.

LU Wende, LI Guang, LIU Shuainan, et al. Effects of high nitrogen and biochar additions on soil nitrogen fractions in abandoned grasslands on the Loess Plateau[J]. Journal of Soil and Water Conservation, 2025, 39(4):39-47.

## 高氮和生物炭添加对黄土高原撂荒 草地土壤氮组分的影响

鲁文德,李广,刘帅楠,张馨月

(甘肃农业大学林学院, 兰州 730070)

摘 要:[目的]为探究 BC添加对高 N沉降下土壤 N素变化的影响。[方法] 以黄土高原撂荒草地为研究对象,设置对照(N0BC0)、高 N(N9BC0)、BC添加(N0BC20)及其复合处理(N9BC20),分析不同处理对土壤氮组分的变化规律及空间分布特征。[结果] 1)与对照相比,N9BC20处理显著增加  $0\sim40$  cm 土层 TN、NH<sub>4</sub><sup>+</sup>-N、DON质量分数分别增加 1.95、1.70、1.44 倍;相较于 N9BC0处理,N9BC20处理显著增加  $0\sim40$  cm 土层土壤 TN、DON、DTN质量分数分别增加 1.39、1.35、1.22 倍;不同处理下土壤 NH<sub>4</sub><sup>+</sup>-N、NO<sub>3</sub><sup>-</sup>-N、MBN质量分数均随土层深度增加而减少。 2)N9BC0处理降低  $0\sim40$  cm 土层土壤 DON/DTN,但 N9BC20处理提高  $0\sim40$  cm 土层土壤 NO<sub>3</sub><sup>-</sup>-N/DTN 和 DON/DTN,促进土壤 NH<sub>4</sub><sup>+</sup>-N 向 NO<sub>3</sub><sup>-</sup>-N 转化。 3)N9BC20处理下, $0\sim40$  cm 土层 NH<sub>4</sub><sup>+</sup>-N、DTN、DON的 NPMI均为最大,且分别是 N9BC0处理的 1.08、1.36、1.60 倍。 4)回归分析表明,土壤体积质量解释 TN变化的 22.6%,土壤全磷和pH共同解释 TN变化的 53.7%。[结论] BC添加可通过改变黄土高原土壤非生物因素调控土壤 N库的动态变化,可作为未来高 N沉降背景下黄土高原土壤固 N培肥和地力提升的潜在措施。

关键词:高氮沉降;生物炭添加;黄土高原;撂荒草地;土壤氮组分

中图分类号:S157.1

文献标识码:A

文章编号:1009-2242(2025)04-0039-09

# Effects of High Nitrogen and Biochar Additions on Soil Nitrogen Fractions in Abandoned Grasslands on the Loess Plateau

LU Wende, LI Guang, LIU Shuainan, ZHANG Xinyue

(College of Forestry, Gansu Agricultural University, Lanzhou 730070, China)

**Abstract**: [**Objective**] To explore how biochar (BC) addition affects the change of soil nitrogen (N) under high N deposition. [**Methods**] Taking the loess plateau abandoned grassland as the research object, we set up the control (N0BC0), high N (N9BC0), BC addition (N0BC20) and its composite treatment (N9BC20) to analyze the change rule of different treatments on the soil nitrogen component and the spatial distribution characteristics. [**Result**] 1) Compared with the control, N9 BC20 treatment significantly increased the contents of TN, NH<sub>4</sub><sup>+</sup>-N and DON by 1.95, 1.70 and 1.44 times, respectively. Compared with N9BC0 treatment, N9BC20 treatment significantly increased soil TN, DON, and DTN contents in the 0—40 cm soil layer by 1.39, 1.35 and 1.22 times, respectively. Soil NH<sub>4</sub><sup>+</sup>-N, NO<sub>3</sub><sup>-</sup>-N and MBN contents under different treatments decreased with the increase of soil depth. 2) N9BC0 treatment decreased soil DON/DTN ratio in the 0—40 cm soil layer. However, the N9BC20 treatment increased soil NO<sub>3</sub><sup>-</sup>-N/DTN and DON/DTN ratios in the 0—40 cm soil layer, and promoted the conversion of soil NH<sub>4</sub><sup>+</sup>-N to NO<sub>3</sub><sup>-</sup>-N. 3) The NPMIs of NH<sub>4</sub><sup>+</sup>-N, DTN, and DON in the 0—40 cm

**收稿日期:**2024-11-28 **修回日期:**2025-03-26 **录用日期:**2025-04-12 **网络首发日期**(www.cnki.net):2025-05-15

**资助项目:**甘肃农业大学优秀博士研究生学位论文培育项目(YB2023002);甘肃省科技计划项目(24JRRA682);甘肃省财政专项项目 (GSCZZ20160909);甘肃省重点研发计划项目(22YF7FA116);国家自然科学基金项目(32360438);甘肃省拔尖领军人才项目 (GSRIL I-2023-09)

第一作者:鲁文德(1997—),男,硕士研究生,主要从事土壤氮循环研究。E-mail:luwende97@163.com

通信作者:李广(1971-),男,博士,教授,博士生导师,主要从事水土保持与荒漠化防治研究。E-mail:lig93272883@163.com

soil layer under the N9BC20 treatment were all the largest, being 1.08, 1.36 and 1.60 times of that of N9BC0 treatment, respectively. 4) Regression analysis showed that soil bulk density explained 22.6% of the variation in TN, and soil total phosphorus and pH together explained 53.7% of the variation in TN. [Conclusion] BC addition can regulate the dynamics of soil N pools by altering abiotic factors in soils on the Loess Plateau and can be a potential measure for N fixation and soil fertility enhancement for soils on the Loess Plateau under the background of high N deposition in the future.

**Keywords**: high nitrogen deposition; biochar addition; the Loess Plateau; abandoned grassland; soil nitrogen fractions

**Received**: 2024-11-28 **Revised**: 2025-03-26 **Accepted**: 2025-04-12 **Online**(www.cnki.net): 2025-05-15

氮(N)素是限制植物生长的主要因素之一,其形 态和质量分数与生态系统 N转化过程关系密切,进 而可能对区域生态环境产生影响[1]。而土壤 N 库是 生态系统中N循环的重要组成部分,其微量的变化 引起N循环和N排放的巨大改变[2]。土壤N库有多 种形式,通常根据 N 源及供 N 能力划分为具有不同 特征的组分,且不同形态N组分的变化可直接或间 接影响土壤 N 素的有效性[3]。已有研究[4]表明,土壤 TN能说明N库容量的变化,其对土壤环境变化的敏 感性较高,可作为表征总N库的重要指标。而土壤 DON 虽在 TN 中所占比例较小,但可参与土壤中能 量输送和转化,从而间接调控 N 库的分配格局,影响 N库的积累与分配过程<sup>[4]</sup>。土壤 MBN 可诠释土壤微 生物对 N 素的矿化与固持作用, 也是土壤有机氮 (ON)中最为活跃的组分,对植物 N素的供应起着重 要的调节作用[5]。同时,硝态氮(NO3-N)和铵态氮 (NH4+-N)作为IN的主要组分,可被植物和微生物直 接吸收利用,其质量分数能够反映土壤的供 N 水 平[3]。综上,探明土壤N库各组分质量分数、积累及 分配变化特征,对于认识生态系统的土壤 N循环及 转化过程具有十分重要的科学意义。

N肥使用、化石燃料燃烧等人类活动导致全球范围内大气N沉降量持续增加,进而造成土壤酸化、养分流失、生物多样性降低及生态系统生产力下降等一系列生态环境问题。有研究[6]表明,过高的N沉降量降低土壤中微生物的丰富度和生物量,并通过改变微生物对底物的利用方式,影响土壤微生物的整体功能。高N沉降还造成草地土壤pH下降而严重酸化,最终导致草地植被的生产力下降。因此,如何降低高N沉降对生态系统带来的负面影响是目前众多学者关注的热点话题之一。

生物炭(BC)是一种可以有效固存土壤 N 养分的 改良剂,可有效减少土壤 N 素的损失。有研究<sup>[7]</sup>表明, BC具有较大的比表面积和孔隙度,能够降低土壤体

积质量,提高土壤团聚体稳定性,改善土壤质量。BC 也可与土壤矿物颗粒结合,形成微小团粒结构,增强 水分子在土壤中的附着力,减少土壤水分蒸发,提高 土壤持水能力。因而,BC可在施用土壤后改变土壤 的理化性质,从而直接或间接地影响土壤 N 素循环与 利用。一方面,生物质热解成BC时,一部分N素通过 挥发损失,一部分则被保留下来。相关研究[8]表明,在 CO2环境下,BC中氢自由基的生成抑制含N气体的挥 发;另一方面,除BC带入土壤的N素外,还主要体现 在BC对土壤N素的截留和吸附作用。有研究[9]发现, 由于BC自身对N素的截留和吸附能力,使得土壤 NO3-N和总N淋洗速度随BC施用量的增加逐渐降 低。BC对土壤微生物群落结构也有显著影响。研 究<sup>[9]</sup>表明,BC的添加可改变土壤孔隙结构,促进土壤 微生物的生长,增加土壤生物多样性,从而改善生态 平衡。有研究[10]通过高通量测序发现,变形菌门可能 是底物在含BC土壤中矿化量增加的关键微生物类 型。综上,BC输入土壤后可以通过改变土壤物理、化 学和生物学特性,减少N素的淋溶损失和挥发损失, 增强土壤的固N能力。然而,目前关于BC的研究主 要集中在农田作物生长[7]、土壤修复及经济林地土壤 理化性质[11]和微生物的组成等[6]方面。但BC添加对 未来高N沉降背景下土壤N组分的影响还存在很大 的不确定性,亟待进一步了解。

黄土高原地区由于水土流失问题严重、植被覆盖度较低,被认为是我国典型的生态脆弱区和生态修复的重点区,其对全球气候变化(如大气N沉降)较为敏感<sup>[12]</sup>。自1999年退耕还林还草工程实施以来,黄土高原地区植被覆盖面积不断扩大,生态环境得到有效改善。退耕还林还草过程使得土壤、植被和大气间的养分元素流动状况发生明显改变,也让该区撂荒草地(弃耕后自然恢复的草地)中土壤N组分的分布出现差异。黄土高原由于土壤肥力有限、水分短缺、侵蚀严重等问题严重制约区域的生态环境建设<sup>[12]</sup>。草地作为黄土高

原面积最大的土地利用类型(平均占比为41.8%),对区域生态环境建设有相当大的贡献<sup>[13]</sup>。BC作为一种有效的土壤改良剂,能够改善土壤环境,为植被生长提供更好的条件。有研究<sup>[14]</sup>表明,高氮沉降打破植物体内的营养平衡,降低植物的生长能力,可能导致森林和草原的缩减,甚至生物多样性的降低。因此,为研究BC添加能否应对高N沉降带来的负面影响,本文以黄土高原区撂荒草地为对象,分析高N和BC添加对土壤N组分分布特征的影响,以期探明黄土高原地区土壤N循环变化规律,为区域植被恢复和筛选稳定大气高N沉降下土壤的固N措施具有重要意义,且可作为BC研究在撂荒草地生态系统的补充。

### 1 材料与方法

### 1.1 研究区概况

研究区位于甘肃省定西市安定区(34°26′~35°35′N,103°52′~105°13′E)水土保持科学研究所试验站。该区属大陆性气候,流域面积8.56 km²。其主要特征是气候干燥,光能较为丰富,雨热同季,年均气温6.3°C,年平均光照时间2500h,年平均蒸发量1400mm以上,无霜期141d,年平均降水量350~400mm,年际变异大,主要集中在7—9月[15]。试验地土壤类型主要以黄绵土为主。该区域优势种分别为长芒草(Stipa bungeana Trin.)、狗尾草(Setaria viridis (L.) Beauv.)、赖草(Leymus secalinus (Georgi) Tzvel.)和冷蒿(Artemisia frigida Willd)等。研究样地土壤理化性质见表1。

### 表1 样地土壤理化性质

Table 1 Physicochemical properties of the soil on the sampling plot

处理	有机碳/ (g·kg <sup>-1</sup> )	体积质量/ (g·cm <sup>-3</sup> )	pH (1:2.5)	全磷/ (g•kg <sup>-1</sup> )
N0BC0		$1.43 \pm 0.03$ A		
N0BC20	9.49±0.18A	$1.43 \pm 0.03 A$	8.11±0.01A	0.36±0.01A
N9BC0	$8.70 \pm 0.12B$	$1.38 \pm 0.02 A$	$8.14 \pm 0.03 A$	$0.24 \pm 0.02 C$
N9BC20	$9.77 \pm 0.17 A$	$1.41 \pm 0.02 A$	$8.11 \pm 0.04 A$	$0.33 \pm 0.01 A$

注:表中数据为平均值士标准差;同列不同大写字母表示不同 处理间差异显著(p<0.05)。下同。

#### 1.2 试验设计

2022年6月选择3个植被生长状况基本一致的撂荒后自然恢复的草地为试验样地。试验涉及高N、生物炭2个因素,共设4个处理(N0BC0:不施生物炭、氮;N0BC20:不施氮+施生物炭20 t/hm²;N9BC0:不施生物炭+施氮9 g/(m²·a);N9BC20:施生物炭20 t/hm²+施氮9 g/(m²·a)。采用双因素嵌套随机组合排列,每个处理3个重复,共计12个重复处理小区,每小区间隔>1 m,小区面积4 m²(2 m×2 m)。

试验地于 2022年6月按 0~20、20~40 cm 土层一次性施入生物质炭 20 t/hm²,按照土层土壤与生物质炭混合翻拌均匀,后续不再添加,且 BC0处理仅开挖回填。添加氮肥为尿素,将尿素按每年施用量平均分成 3等份,分别于 2022年6月、8月、10月和 2023年3月、6月、9月中根据各处理所需用量施入小区。本试验所用生物炭购自河南三利新能源有限公司,为小麦秸秆(400  $^{\circ}$  处热解)。其 TN 为 7.67 g/kg,有机碳为 118.11 g/kg,全磷(TP)为 1.02 g/kg,pH 为 9.36 (m炭: V 水=1:10)。

### 1.3 样品采集

2023年10月底,在每个样方中随机选取3个土壤取样点,采用土钻分别在0~10、10~20、20~40 cm土层取样,1个处理共取9个样点,将同一样点处理土壤样品混匀后作1个土壤样品,每个处理3次重复。采集的新鲜土壤样品过2 mm筛,去除碎屑、动植物残体和砾石等,将过筛后新鲜的土壤样品低温运输回实验室。

### 1.4 样品室内分析

土壤 pH采用电位法 [16]测定,以水为浸提剂,水土比为 2.5:1; 土壤水分体积分数采用烘干法测定; 土壤体积质量 (BD)采用环刀法测定; 土壤 TN采用半微量凯氏法测定; 土壤 MBN采用氯仿熏蒸浸提法测定; 土壤  $NO_3$  -N、 $NH_4$  -N采用 2 mol/L KCl溶液浸提,并使用 Smart Chem450 全自动间断化学分析仪测定; 土壤有机碳 (SOC)质量分数采用重铬酸钾氧化外加热法测定; 土壤 TP采用钼锑抗比色法测定,土壤 DON采用同  $NO_3$  -N、 $NH_4$  -N相同浸提溶液加氧化剂进行高压灭菌后比色计算。

土壤氮库管理指数计算应用相关研究[17]的计算方法,计算公式为:

氮库指数(NPI)=土样全氮(g/kg)/参考土壤全氮(g/kg)

氮库的不稳定性即氮库活度(L)=土样中某种可溶性氮(LON)(mg/kg)/土样中除相对应可溶性氮(mg/kg)以外的所有氮(N-LON)(mg/kg)

活度指数(LI)=土样的不稳定性(L)/参考的不 稳定性(L0)

基于以上参数可以得到氮库管理指数(NPMI): NPMI=NPI×LI×100

#### 1.5 数据处理分析

采用 Excel 2016 软件对原始数据进行整理和计算,使用 SPSS 27.0 软件对土壤各项指标进行不同处理 和不同土层间的单因素方差分析 (One-way ANOVA),采用 Origin 2024 软件进行绘图,文中数据为平均值士标准差。

#### 结果与分析 2

#### 2.1 高氮和生物炭添加对土壤全氮质量分数的影响

高N和BC添加显著增加土壤TN质量分数。由 图 1 可知,在 0~40 cm 土层, N0BC20、N9BC0 和 N9BC20处理下的TN质量分数均显著高于对照 (NOBCO),且NOBC20处理下的TN质量分数最高, 为对照的2.9倍(p<0.05)。

相较于对照,N0BC20处理下的TN质量分数在 10~20 cm 土层处最低,且低于 N9BC20处理; N9BC0和N9BC20处理下的TN质量分数变化趋势 相似,均在10~20 cm 土层处最大。

### 2.2 高氮和生物炭添加对土壤氮组分质量分数的 影响

BC添加显著增加NH<sub>4</sub>+-N、DTN和DON质量 分数。由图2可知,在0~40 cm 土层,N0BC20和 N9BC20处理下的DON质量分数显著高于对照和

0~10

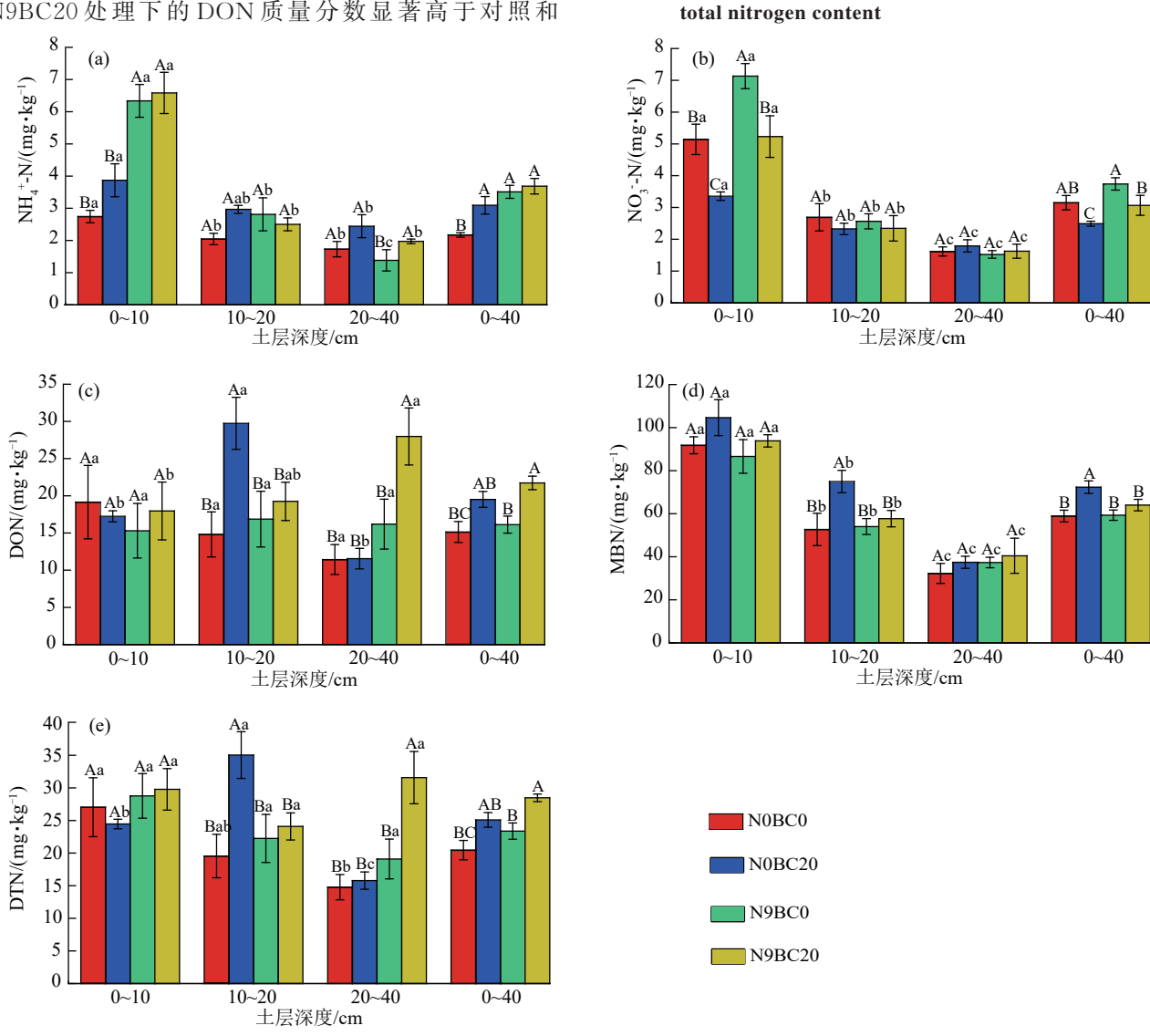


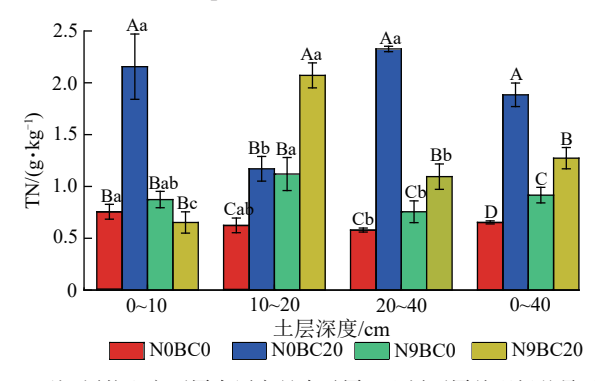
图 2 高氮和生物炭添加对土壤氮组分质量分数的影响

0~40

20~40

Fig.2 Effects of high nitrogen and biochar addition on the contents different soil nitrogen fractions http://stbcxb.alljournal.com.cn

N9BC0处理,且NH,+-N、DTN和DON质量分数均 在 N9BC20 处理下最高。 N0BC20 处理显著降低 NO<sub>3</sub>-N质量分数(p<0.05)。



注:图柱上方不同大写字母表示同一土层不同处理间差异显著 (p<0.05);不同小写字母表示同一处理不同土层间差异显 著(p<0.05)。下同。

图1 高氮和生物炭添加对土壤全氮质量分数的影响

Fig.1 Effects of high nitrogen and biochar addition on soil total nitrogen content

%

4种处理下的  $NH_4^+$ -N、 $NO_3^-$ -N、MBN 质量分数变化趋势一致,均随土层深度的增加而降低。相较于对照, NOBC20 处理下的 DON 和 DTN 质量分数在  $10\sim20$  cm 土层处最大,分别为对照的 2.0、1.8 倍,但 N9BC20 处理下的 DON 和 DTN 质量分数在  $20\sim40$  cm 土层处最大,分别为对照的 2.4、2.1 倍。而 N9BC0 处理下的 DON 和 DTN 质量分数在土层间的变化不大。

### 2.3 高氮和生物炭添加对土壤氮组分比例的影响

由表 2 可知, N0BC20 处理显著降低土壤各 N组

分占 TN的比例。N9BC20 处理显著增加 NH<sub>4</sub><sup>+</sup>-N和 MBN 占 TN 的比例 (p<0.05)。BC 添加有效增加 DTN 中 DON、NO<sub>3</sub> -N 的占比,同时有效降低 DTN 中 NH<sub>4</sub><sup>+</sup>-N 的占比。在 DTN 中,DON 占据较大比例,4 种处理下的 DON 占比为 68.17%~75.69%。由图 3 可知,N0BC0 和 N9BC0 处理下的 NO<sub>3</sub> -N 占比小于 NH<sub>4</sub><sup>+</sup>-N,而 N0BC20 和 N9BC20 处理下的 NO<sub>3</sub> -N 占比大于 NH<sub>4</sub><sup>+</sup>-N,而 N0BC20 和 N9BC20 处理下的 NH<sub>4</sub><sup>+</sup>-N和 NO<sub>3</sub> -N 占比之和,均大于其余 2 种未添加 BC 处理下的 NH<sub>4</sub><sup>+</sup>-N和 NO<sub>3</sub> -N 占比之和。

Table 2 Effects of high nitrogen and biochar addition on the proportions of different soil nitrogen fractions

表 2 高氮和生物炭添加对土壤氮组分比例的影响

处理	DTN/TN	NO <sub>3</sub> -N/TN	NH <sub>4</sub> <sup>+</sup> -N/TN	DON/TN	MBN/TN
N0BC0	$3.16 \pm 0.16 A$	$0.49 \pm 0.04 A$	$0.35 \pm 0.01B$	$2.33 \pm 0.15 A$	$9.06 \pm 0.28 A$
N0BC20	$1.70 \pm 0.18B$	$0.15 \pm 0.01B$	$0.19 \pm 0.02C$	$1.36 \pm 0.16 B$	$4.53 \pm 0.34$ C
N9BC0	$2.83 \pm 0.28 A$	$0.44 \pm 0.03 A$	$0.40 \pm 0.04 \mathrm{AB}$	$2.00 \pm 0.23 A$	$6.95 \pm 0.66 B$
N9BC20	$2.99 \pm 0.26 A$	$0.40 \pm 0.09 A$	$0.48 \pm 0.07 A$	$2.10 \pm 0.16 A$	$7.45 \pm 0.94 AB$

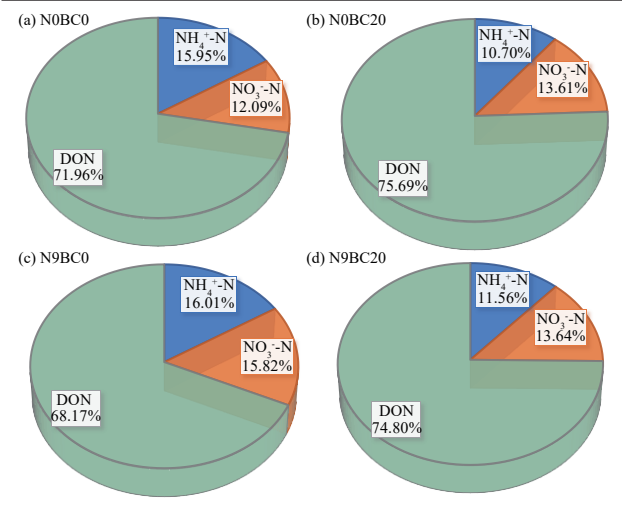


图 3 不同处理下可溶性氮占溶解性总氮的比例

Fig.3 The ratios of different dissolved nitrogen fractions to total dissolved nitrogen under different treatments

### 2.4 高氮和生物炭添加对土壤氮库管理指数的影响

NPI是评价土壤质量及土壤管理的重要指标,能够反映土壤中 N 素的总量和形态,是衡量土壤 N 素状况的关键参数。由表 3 可知,相较于对照,N0BC20、N9BC0和 N9BC20处理下的 NPI 均有所提升,其中,N0BC20处理下土壤的 NPI 最高,为 3.005,远高于对照处理。

NPMI是反映地区土壤N的丰度、N的活性强度及土壤供N能力的重要指标。除NOBC20处理下NO $_3$ -N的NPMI低于对照之外,其余处理下其他指标的NPMI均高于对照,其中,N9BC20处理下NH $_4$ +-N、DTN和DON的NPMI均为对应指标的最高,分别为163.625、179.613、160.160。

### 2.5 高氮和生物炭添加下土壤氮库管理指数及土壤 理化性质间的相互作用关系

相关分析(图4)表明,NPMI与DTN和DON呈 极显著正相关(p < 0.01)。NPI、TN和TP两两间呈 极显著正相关(p<0.01), NPI与NO<sub>3</sub>-N呈显著负相 关(p<0.05)。土壤温度(ST)与BD和TP呈极显著 正相关(p < 0.01),与土壤水分体积分数(SMC)、 DTN、NO<sub>3</sub>-N、NH<sub>4</sub>+-N、MBN和SOC呈极显著负相 美(p<0.01)。SMC与NO<sub>3</sub>-N、NH<sub>4</sub>+-N、MBN、SOC 呈极显著正相关(p<0.01),与DTN呈显著正相关 (p < 0.05),与BD和TP呈极显著负相关(p < 0.01)。 DTN与DON和MBN呈极显著负相关(p < 0.01),与 SOC 呈显著正相关(p < 0.05),与 TP 呈极显著负相 美(p<0.01)。 $N0_3$ -N、 $NH_4$ +-N 均与 MBN 和 SOC 呈极显著正相关(p < 0.01),均与BD和TP呈极 显著负相关(p<0.01),且二者间呈极显著正相关 (p<0.01)。MBN、SOC 均与BD 和 TP 呈极显著负 相关(p<0.01)。 MBN 与 SOC 呈 极 显 著 正 相 关  $(p < 0.01)_{\circ}$ 

### 2.6 不同土层土壤全氮质量分数与影响因子的关系

为探究土壤 TN质量分数与影响因子间的相关关系,利用逐步回归方程分析检验选出最优模型。对 3个土层回归模型分析可得,0~10 cm 土层 TN仅受  $NO_3$ -N影响;10~20 cm 土层 TN仅受 BD影响;20~40 cm 土层 TN受 TP 和 pH 影响,决定系数为0.537(表4),不同土层各因子对土壤 TN质量分数变化产生不同影响。

#### 表 3 高氮和生物炭添加对土壤氮库管理指数的影响

Table 3 Effects of high nitrogen and biochar addition on soil nitrogen pool management indices

处理 氮库指数 (NPI)	NO <sub>3</sub> -N		$NH_4^+$ -N		DTN		DON						
	(NPI)	L	LI	NPMI	L	LI	NPMI	L	LI	NPMI	L	LI	NPMI
N0BC0	1.000	0.005	1.000	100.000	0.003	1.000	100.000	0.033	1.000	100.000	0.024	1.000	100.000
N0BC20	3.005	0.002	0.377	96.146	0.002	0.591	145.806	0.017	0.589	138.055	0.014	0.691	160.386
N9BC0	1.460	0.004	0.974	119.267	0.004	1.234	151.257	0.029	0.905	117.747	0.021	0.850	112.083
N9BC20	2.129	0.004	0.776	106.876	0.005	1.354	163.625	0.031	1.031	160.160	0.022	1.113	179.613

注:NPI、L、LI、NPMI分别为氮库指数、氮库活度、活度指数、氮库管理指数。

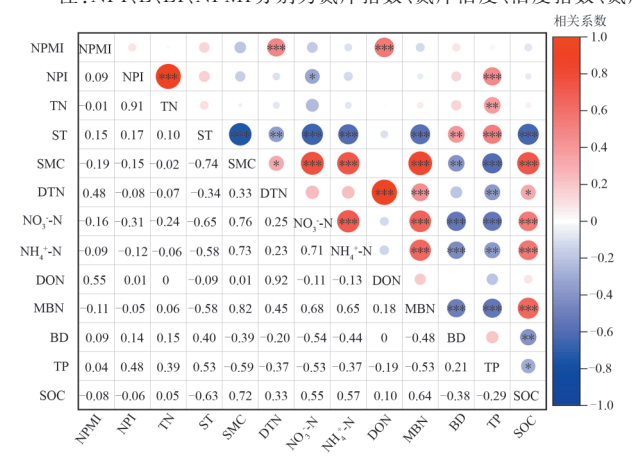


图 4 土壤氮库管理指数及土壤理化性质相关矩阵

Fig.4 Correlation matrix of soil nitrogen pool management indices and soil physical and chemical properties

表 4 不同土层土壤全氮质量分数与影响因子的回归分析模型

Table 4 Regression analysis model of soil total nitrogen content and the influencing factors in different soil layers

土层深度/cm	回归方程	$R^2$	Þ
0~10	$y=2.503-0.267x_1$	0.345	0.004
10~20	$y = -6.542 + 5.400x_2$	0.226	0.020
20~40	$y = -22.563 + 5.826x_3 + 2.645x_4$	0.537	< 0.001

注:y为土壤 TN 质量分数; $x_1$ 为土壤 NO $_3$ -N 质量分数; $x_2$ 为土壤 BD; $x_3$ 为土壤 TP 质量分数; $x_4$ 为土壤 pH。

### 3 讨论

N循环是生态系统主要的功能之一,对于外源C、N输入较为敏感<sup>[18]</sup>。本研究中,高N添加显著增加0~40 cm土层土壤TN和NH<sub>4</sub><sup>+</sup>-N质量分数,主要是因为外源N素添加使得N素在土壤中形成积累。同时,N添加促进植物生长带来的有机残体输入增加<sup>[18]</sup>。在0~10 cm土层,BC添加显著增加土壤TN质量分数,N9BC20处理无显著差异,但在10~20 cm土层,N0BCO和N9BC20处理均显著增加土壤TN质量分数,是因为BC具有大孔径,施入土壤后对矿质N的吸附能力增强,从而在一定程度上增加土壤氮素的固持<sup>[19]</sup>。同时,有研究<sup>[19]</sup>发现,土壤性质在0~10 cm的土层深度变化最为显著,而10~20 cm土

层,N0BC20和N9BC20处理无显著差异可能是因为 降水使得TN向下发生淋溶。本研究还发现,NH4+-N 和 NO。-N 质量分数最大值分别在 N9BC20 和 N9BC0处理。表明添加尿素 N 肥后,尿素在短时间 内转化为碳酸氢铵,经过矿化作用转化为NH<sub>4</sub>+-N和 NO<sub>3</sub>-N<sup>[20]</sup>。本研究发现,添加BC显著增加土壤TN 和 NH4+-N 质量分数,与前人[7]研究结果基本一致。 一方面,由于BC能够增加土壤中N的吸附作用,尤 其对 NH4+-N 具有较强的吸附能力[7]。同时, BC 还 能减少氨的挥发损失,减少N素的损失途径,从而减 少N素的损失;另一方面,BC可为固N细菌提供适 宜的生境和丰富的 C 源,提高固 N 细菌的活性,使固 N细菌更好地进行固N过程,进而增强土壤N素的固 定[21]。已有研究[22]发现,NO3-N是容易被植物吸收 和利用的土壤 N 离子。然而,在土壤中,该离子形式 的 N 具有流动性, 不易被土壤胶体吸附。本研究中, BC添加显著减少0~40 cm 土层土壤中NO<sub>3</sub>-N质量 分数。是因为NO<sub>3</sub>-N是土壤各种形态N素中最难被 土壤颗粒所吸附的,很容易发生淋失[22]。而黄土高 原土壤通气性较好,添加BC可进一步改善土壤通气 状况,加之BC对NH<sub>4</sub>+-N的吸附能力强<sup>[7]</sup>,故此造成 NO3-N过多淋失。MAGRINI-BAIR等[23]研究结果 进一步验证,在总N淋失量中,NO3-N淋失量最大, 占总N淋失量的84%~90%。

MBN可为土壤提供 N 源营养, 其动态变化表征土壤养分的转化和有效性<sup>[24]</sup>。本研究表明, 添加 BC显著增加 0~40 cm 土层土壤 MBN 的质量分数。 BC不仅影响土壤微生物群落的多样性, 还改变微生物群落结构和组成<sup>[25]</sup>。该影响一方面因为 BC 施入土壤后可提高土壤 pH, 增加土壤持水性和孔隙度, 降低土壤体积质量, 为微生物的生长繁殖提供舒适、良好的生存条件, 增加土壤微生物生物量<sup>[26]</sup>; 另一方面,BC 吸附性强, C质量分数高, 营养元素丰富, 施入土壤后部分组分可直接作为能源物质供微生物生长利用<sup>[10]</sup>, 并且对 N 养分的吸附性增强土壤养分供应的能力<sup>[27]</sup>。本研究中, N9BC 20 处理的 MBN 质量分数

基本没有变化,可能是高N添加降低土壤pH,减少土壤微生物量,抵消BC添加的作用。BC添加显著降低MBN占TN的比例,因为N0BC20处理的TN增幅远大于MBN增幅。

DON 是土壤 ON 组分中最活跃的部分,是土壤 ON矿化过程的重要参与部分[28]。有研究[29]对不同 类型农田土壤 DON的测定发现,农田土壤 DON质 量分数为  $20\sim30 \text{ kg/hm}^2$ ,约占 TN的  $2.5\%\sim4.0\%$ , 而本研究中,DON占TN比例均低于2.5%,可能是 农田土壤在耕作过程中添加肥料,但撂荒草地由于 长期弃耕土壤中DON存在损失。本研究结果得出, 高N和BC添加显著提高0~40 cm 土层土壤DON质 量分数,与BHOGAL等[29]的研究结果一致。是因为 BC的加入导致N质量分数的相对缺乏,刺激微生物 的 N 素获取能力,促进含 N 有机质的快速分解及 N 素的释放[30]。DTN主要包括DON和溶解性无机氮 (DIN),其质量分数变化主要受到 DON和 DIN 的影 响。本研究结果显示,高N和BC添加显著增加DTN 质量分数,在土层间的规律表现为NOBC20处理下的 DTN 在 10~20 cm 土层处最大, N9BC20 处理下的 DTN质量分数在20~40 cm 土层处最大,与DON质 量分数在土层间的变化规律一致,因为DON在DTN 中占据较大比例,所以DTN的变化主要受到DON的 影响。由图4可知,DON与DTN质量分数的相关系 数非常显著,其值达到0.92,也能证实此观点。

DTN/TN、DON/TN、NH<sub>4</sub>+-N/TN 和 NO<sub>3</sub>-N/TN可表征可溶性 N素在土壤中变化。本研究显示,添加 BC 造成 DTN/TN 显著降低,说明添加 BC 后TN增幅大于 DTN,图 1和图 2也验证该现象。本研究结果显示,N0BC0 和 N9BC0 处理下的 NH<sub>4</sub>+-N/TN均大于 NO<sub>3</sub>-N/TN,N0BC20 和 N9BC20 处理下的 NH<sub>4</sub>+-N/TN均小于 NO<sub>3</sub>-N/TN,且 N0BC20 和 N9BC20 处理下的 DON/TN 均大于 N0BC20 和 N9BC20 处理下的 DON/TN 均大于 N0BC20 和 N9BC20 处理下的 DON/TN 均大于 N0BC20 和 N9BC20 处理。说明 BC添加提高 DON和 NO<sub>3</sub>-N在 DTN中的占比,NO<sub>3</sub>-N占比提高可能是因为 BC添加后促进硝化作用,使得一部分 NH<sub>4</sub>+-N 被硝化作用转化为 NO<sub>3</sub>-N<sup>[16]</sup>,且由图 4 可知,NH<sub>4</sub>+-N 和 NO<sub>3</sub>-N 的相关系数非常显著,而 DON 占比提高的原因可能是 BC添加促进微生物的分解作用,从而使微生物释放出以可溶性形式存在的 ON<sup>[28]</sup>。

NPMI能反映外界条件对土壤N组分变化的效应<sup>[17]</sup>。本研究中,除N0BC20处理的NO<sub>3</sub>-N的NPMI较对照下降之外,其余各处理下各N组分NPMI较对照均有所增加,与BC添加后降低NO<sub>3</sub>-N的变化趋势一致<sup>[22]</sup>,同时,除NO<sub>3</sub>-N外,其他各指标

的 NPMI 都在 N9BC20 处理最大。可能是高 N和 BC 的 添加一方面为土壤带入相对充足的 C源和 N源<sup>[11]</sup>;另一方面,可通过调节土壤 pH<sup>[31]</sup>,有利于土壤中 N素的增加,进而达到土壤活性 N库扩容的目的。相关性分析表明,NPMI与 DTN和 DON 呈极显著正相关,说明 NPMI与 DTN和 DON 的变化规律高度一致,因此,通过高 N和 BC 添加调控 NPMI 能直接或间接提高土壤供 N能力。

### 4 结论

1) BC 显著提高黄土高原撂荒草地 TN、DON、NH<sub>4</sub><sup>+</sup>-N 和 MBN 质量分数,且能降低 NO<sub>3</sub><sup>-</sup>-N 质量分数。

2)BC显著改变土壤N组分质量分数及分配,有 利于土壤N的固定,能够增加黄土高原撂荒草地土壤N组分的蓄积。

3)但高 N添加不仅降低 DON/DTN,也降低 BC 对土壤微生物的积极作用。同时,高 N和 BC 复合添加对黄土高原撂荒草地 DON和 NH<sub>4</sub><sup>+</sup>-N影响较大,能为土壤提供更多可以被植物直接利用的 N素。

综上,在供试施用量下,BC添加能够在高N背景下提高土壤一定的供N能力。

### 参考文献:

- [1] 肖博,王邵军,解玲玲,等.蚂蚁筑巢定居活动对热带森林土壤氮库及组分分配的影响[J].生态环境学报,2023,32(6):1026-1036.
  - XIAO B, WANG S J, XIE L L, et al. Effect of ant nesting activity on soil nitrogen component allocation in the Xishuangbanna tropical forests [J]. Ecology and Environmental Sciences, 2023, 32(6):1026-1036.
- [2] 莫江明,彭少麟,方运霆,等.鼎湖山马尾松针阔叶混交林土壤有效氮动态的初步研究[J].生态学报,2001,21 (3):492-497.
  - MO J M, PENG S L, FANG Y T, et al. A preliminary study on the dynamics of bio-available nitrogen in soils of pine-broadleaf mixed forest in Dinghuashan Biosphere Reserve[J]. Acta Ecologica Sinica, 2001, 21(3):492-497.
- [3] 赵满兴,白二磊,刘慧,等.黄土丘陵区人工林土壤可溶性 氮组分季节变化[J].水土保持学报,2019,33(2):258-263. ZHAO M X, BAI E L, LIU H, et al. Seasonal variation of soil soluble nitrogen fractions in plantation in loess hilly region[J].Journal of Soil and Water Conservation, 2019, 33(2):258-263.
- [4] 廖鑫宇,盛建东,程军回,等.新疆山地草甸土壤全氮变化特征与影响因素的关系分析[J].天津农业科学,2022,28(7);34-43.

LIAO XY, SHENG JD, CHENG JH, et al. Relation-

- ship between soil total nitrogen change characteristics and influencing factors in mountainous meadow in Xinjiang [J]. Tianjin Agricultural Sciences, 2022, 28(7):34-43.
- [5] 唐玉霞,贾树龙,孟春香,等.土壤微生物生物量氮研究综述[J].中国生态农业学报,2002,10(2):76-78.

  TANG Y X, JIA S L, MENG C X, et al. A summary of soil microbial biomass nitrogen[J]. Chinese Journal of Eco-Agriculture, 2002, 10(2):76-78.
- [6] 代欣.模拟不同氮沉降水平对桑树幼苗生长、生理特征的影响[D].哈尔滨:东北林业大学,2018.
  DAI X. Effects of simulated different nitrogen deposition levels on growth and physiological characteristics of mulberry seedlings [D]. Harbin: Northeast Forestry University, 2018.
- [7] 尚杰.添加生物炭对壤土理化性质和作物生长的影响 [D].陕西 杨凌:西北农林科技大学,2016. SHANG J. Effects of biochar addition on physical and chemical properties of Lou soil and crop growth [D]. Yangling, Shaanxi: Northwest A&F University,2016.
- [8] 邹峻桦.不同温度及气氛条件下生物炭的制备与还田效果研究[D].武汉:华中农业大学,2017.
  ZOU J H. Study on preparation and effect of biochar returning to field under different temperatures and atmosphere conditions [D]. Wuhan: Huazhong Agricultural University,2017.
- 氮损失及提高氮素利用率[J].农业工程学报,2014,30(6):54-61.
  GAO D C, ZHANG L, LIU Q, et al. Application of biochar in dryland soil decreasing loss of nitrogen and improving nitrogen using rate [J]. Transactions of the Chinese

[9] 高德才,张蕾,刘强,等.旱地土壤施用生物炭减少土壤

[10] 潘少彤.含生物质炭土壤中底物矿化过程及其物理与生物学机理[D].杭州:浙江大学,2019.

Society of Agricultural Engineering, 2014, 30(6):54-61.

- PAN S T. Substrate mineralization process and its physical and biological mechanism in soil containing biomass carbon[D]. Hangzhou: Zhejiang University, 2019.
- [11] 赵蕊蕊,刘勇,王凯.生物炭和有机肥对毛白杨人工林地木质分解及土壤养分循环相关酶活性的影响[J]. 林业科学,2023,59(11):1-11.

  ZHAO R R, LIU Y, WANG K. Effects of biochar and manure on wood decomposition and soil enzyme activities
  - manure on wood decomposition and soil enzyme activities related soil nutrient cycling in a triploid *Populus tomentosa* plantation[J]. Scientia Silvae Sinicae, 2023, 59(11):1-11.
- [12] 杨波,王全九,许晓婷,等.还林还草工程后榆林市 NDVI时空变化趋势[J].生态学杂志,2019,38(6): 1839-1848.
  - YANG B, WANG Q J, XU X T, et al. NDVI spatiotemporal variation in Yulin after grain for green project [J]. Chinese Journal of Ecology, 2019, 38(6):1839-1848.

- [13] 钟泽坤.增温和降雨改变对黄土丘陵区撂荒草地土壤 碳循环关键过程的影响[D]. 陕西 杨凌:西北农林科 技大学,2021.
  - ZHONG Z K. Effects of warming and rainfall changes on key processes of soil carbon cycle in abandoned grassland in Loess Hilly Region [D]. Yangling, Shaanxi: Northwest A&F University, 2021.
- [14] 饶玉良,曹春,张晓雪,等.内蒙古荒漠草原土壤氨挥发对 外源氮输入的响应[J].中国沙漠,2024,44(6):178-186. RAO Y L, CAO C, ZHANG X X, et al. Response of soil ammonia volatilization to exogenous nitrogen input in Inner Mongolian desert grasslands [J]. Journal of Desert Research, 2024, 44(6):178-186.
- [15] 杜梦寅,袁建钰,李广,等.保护性耕作对黄土高原半干旱区农田土壤 $N_2O$ 排放的影响[J].干旱区研究,2022,39(2):493-501. DU M Y, YUAN J Y, LI G, et al. Effects of protective measures on  $N_2O$  emission from farmland soil in a semi-arid area of the Loess Plateau [J]. Arid Zone Research,

2022,39(2):493-501.

壤碳氮固持的短期效应[J]. 中南林业科技大学学报, 2024,44(10):126-137.
WANG H D, CHEN M, YUAN C J, et al. The short-term effects of converting pure *Pinus massoniana* forests into mixed broadleaved forests on soil carbon and nitrogen sequestration[J]. Journal of Central South University of Forestry and Technology, 2024, 44(10):126-137.

[16] 王浩东,陈梦,袁从军,等,马尾松纯林阔叶化改造对土

- [17] 宋雅菲.农艺措施对冀北坝上土壤氮素形态及氮库管理指数的影响[D].河北 张家口:河北北方学院,2019. SONG Y F. Effects of agronomic measures on soil nitrogen forms and nitrogen pool management index in Bashang, northern Hebei Province [D]. Zhangjiakou, Hebei: Hebei North University, 2019.
- [18] GRUBER N, GALLOWAY J N. An earth-system perspective of the global nitrogen cycle[J].Nature, 2008, 451 (7176): 293-296.
- [19] LAIRD D, FLEMING P, WANG B Q, et al. Biochar impact on nutrient leaching from a midwestern agricultural soil[J].Geoderma, 2010, 158(3/4):436-442.
- [20] 田兴芳. 黄土高原撂荒草地土壤团聚体氮素转化特征及管理建议[D]. 陕西 杨凌: 西北农林科技大学, 2024. TIAN X F. Nitrogen transformation characteristics of soil aggregates in abandoned grassland on Loess Plateau and management suggestions [D]. Yangling, Shaanxi: Northwest A&F University, 2024.
- [21] KLEBERM, HOCKADAYW, NICOPS. Characteristics of biochar: Macro-molecular properties [M]//Biochar For Environmental Management. Routledge, 2015;111-137.
- [22] 袁新民,杨学云,同延安,等.不同施氮量对土壤NO<sub>3</sub>-N

- 累积的影响[J].干旱地区农业研究,2001,19(1):8-13. YUAN X M, YANG X Y, TONG Yan'an, et al. Effect of N fertilizer rate on soil nitrate nitrogen accumulation[J]. Agricultural Reseach in the Arid Areas,2001,19(1):8-13.
- [23] MAGRINI-BAIR K, CZERNIK S, PILATH H M, et al. Biomass derived, carbon sequestering, designed fertilizers [J]. Annals of Environmental Science, 2009, 3(1):217-225.
- [24] 郭洁芸,王雅歆,李建龙.氮添加对中国陆地生态系统植物-土壤碳动态的影响[J].生态学报,2022,42(12):4823-4833.
  - GUO JY, WANG YX, LIJL. Effects of nitrogen addition on plant-soil carbon dynamics in terrestrial ecosystems of China[J]. Acta Ecologica Sinica, 2022, 42(12): 4823-4833.
- [25] 徐彬.减氮配施生物炭对稻田土壤有机碳氮矿化及水稻产量的影响[D].贵阳:贵州大学,2023.
  - XU B. Effects of nitrogen reduction combined with biochar application on mineralization of organic carbon and nitrogen in paddy soil and rice yield [D]. Guiyang: Guizhou University, 2023.
- [26] LEHMANN J, JOSEPH S. Biochar for environmental management: Science and technology [M]. London: Earthscan, 2009.
- [27] LEHMANN J, PEREIRA DA SILVA J, STEINER C, et al. Nutrient availability and leaching in an archaeological anthrosol and a ferralsol of the central amazon

- basin: Fertilizer, manure and charcoal amendments [J]. Plant and Soil, 2003, 249(2): 343-357.
- [28] 陶朋闯,陈效民,靳泽文,等.生物质炭与氮肥配施对旱地红壤微生物量碳、氮和碳氮比的影响[J].水土保持学报,2016,30(1):231-235.
  - TAO P C, CHEN X M, JIN Z W, et al. Effects of biochar combined with nitrogen fertilizers on microbial biomass C, N and carbon-to-nitrogen ratio of upland red soil [J]. Journal of Soil and Water Conservation, 2016, 30(1):231-235.
- [29] BHOGAL A, MURPHY D V, FORTUNE S, et al. Distribution of nitrogen pools in the soil profile of undisturbed and reseeded grasslands [J]. Biology and Fertility of Soils, 2000, 30(4):356-362.
- [30] LI T, ZHANG X K, WANG X Q, et al. Effect of inoculating thermophilic bacterial consortia on compost efficiency and quality [J]. Waste Management, 2023, 170:341-353.
- [31] 黄雨晗,曹银贵,周伟,等.秸秆生物炭对草原矿区重构土苜蓿生长状况的影响[J].生态学报,2021,41(2):588-602.
  - HUANG Y H, CAO Y G, ZHOU W, et al. Effects of straw biochar on the growth of medicago falcata in the reconstructed soil of grassland mining area[J]. Acta Ecologica Sinica, 2021, 41(2):588-602.

### (上接第38页)

- [26] 潘根兴,丁元君,陈硕桐,等.从土壤腐殖质分组到分子 有机质组学认识土壤有机质本质[J].地球科学进展, 2019,34(5):451-470.
  - PAN G X, DING Y J, CHEN S T, et al. Exploring the nature of soil organic matter from humic substances isolation to SOMics of molecular assemblage [J]. Advances in Earth Science, 2019, 34(5): 451-470.
- [27] 赵洋,陈永乐,张志山,等.腾格里沙漠东南缘固沙区深层土壤无机碳密度及其垂直分布特征[J].水土保持学报,2012,26(5):206-210.
  - ZHAO Y, CHEN Y L, ZHANG Z S, et al. Soil inorganic carbon density and distribution characteristics in sand-fixed dunes in the Tengger Desert, northern China [J]. Journal of Soil and Water Conservation, 2012, 26 (5): 206-210.
- [28] 蒋小董.毛乌素沙地防护林恢复土壤无机碳累积效应与

- 机制[D].陕西杨凌:西北农林科技大学,2020.
- JIANG X D. Efficiency and mechanism of soil inorganic carbon accumulation following vegetation restoration of shelter forest in Mu Us sandy land [D]. Yangling, Shaanxi: Northwest Agriculture and Forestry University, 2020.
- [29] 黄战,马泽跃,冯雷,等. 氮肥施用对库尔勒香梨园土壤 有机碳和无机碳剖面分布的影响[J]. 中国土壤与肥料, 2023(6):50-60.
  - HUANG Z, MA Z Y, FENG L, et al. Effects of nitrogen fertilizer application on the distribution of organic carbon and inorganic carbon profile in Korla fragrant pear orchard soil[J]. Soil and Fertilizer Sciences in China, 2023(6):50-60.
- [30] 徐薇薇,乔木.干旱区土壤有机碳含量与土壤理化性质相关分析[J].中国沙漠,2014,34(6):1558-1561.
  - XU W W, QIAO M. Soil carbon contents in relation to soil physicochemical properties in arid regions of China[J]. Journal of Desert Research, 2014, 34(6):1558-1561.